УДК 621.793.78.061

ХИМИЧЕСКАЯ ТЕХНОЛОГИЯ

и. л. ройх, в. Ф. карпов, с. р. пустотина, н. а. литовченко

ПРОТИВОДИФФУЗИОННЫЕ СЛОИ ПРИ НАНЕСЕНИИ ЗАЩИТНЫХ ПОКРЫТИЙ В ВАКУУМЕ

(Представлено академиком Я.И.Колотыркиным 14 VII 1972)

Осаждение в вакууме паров металла, обладающего высокими антикоррозионными свойствами в определенной среде, сопровождается в некоторых случаях диффузией атомов основы на поверхность защищенного изделия. Диффузия значительно снижает коррозионную стойкость покрытия даже при толщинах последнего более 100 µ. Аналогичные процессы

наблюдаются, например, в системе магний - кадмий.

Для защиты магниевых сплавов в морской среде целесообразно применение кадмиевых покрытий (¹). Однако при вакуумном осаждении кадмия выделяется значительная теплота конденсации, что повышает температуру подложки и ведет к ускорению диффузионных процессов (²). Исследования (³) показали, что температура конденсации металла является основным параметром, влияющим на структуру, механические, коррозионные и адгезионные свойства покрытия. Наиболее плотные слои кадмия формируются при температуре подложки более 100°.

Поверхностные слои магниевых сплавов при нагреве в вакууме обедняются магнием, возникает градиент концентраций. Это приводит к глубокому проникновению магния в кадмиевое покрытие, что значительно

ухудшает его антикоррозионные свойства.

В настоящей работе исследовалась возможность использования промежуточных противодиффузионных слоев из меди, титана и алюминия. Характерным для данных металлов является то, что при температуре конденсации, обеспечивающей надежную адгезию к магниевому сплаву (280—320°), они образуют ограниченные твердые растворы с магнием (в отличие от кадмия, который образует непрерывные твердые растворы), и при определенных толщинах меди, титана или алюминия можно исклю-

чить проникновение магния на поверхность покрытия.

В наших опытах образцы магниевого сплава МЛ-10 перед загрузкой в вакуумную камеру подвергались механической зачистке, промывке в CCl₄ и сушке горячим воздухом при температуре $40-50^\circ$. Алюминий и титан наносились из линейного вольфрамового испарителя ($T=1300-1800^\circ$), медь — из ленточного молибденового испарителя. Скорость конденсации алюминия и меди составляла 1 μ /мин, титана — $5~\mu$ /мин. Вакуум во время процесса нанесения покрытия находился в пределах $1 \div 2 \cdot 10^{-4}$ мм рт. ст. Толщина слоев алюминия изменялась от 1 до $28~\mu$, меди и титана — от 1 до $20~\mu$.

Выход магния на поверхность через противодиффузионный слой контролировался по изменению начальной интенсивности экзоэлектронной эмиссии (4, 5) спустя 1 мин. после зачистки образца. Эмиссия регистрировалась открытым воздушным счетчиком, который описан в работе (6).

Экзоэмиссия наблюдалась при освещении образцов светом длиной волны ($\lambda=354~\rm{M}\mu$), большей красной границы фотоэффекта для чистой поверхности алюминия.

Начальная интенсивность экзоэмиссии магниевого сплава МЛ-10 составляла 850—1000 имп/сек, алюминиевого конденсата 2000—2200 имп/сек, у титана и меди при выбранной подсветке эмиссия экзоэлектронов отсутствовала (7).

На рис. 1 приведена зависимость начальной эмиссии от толщины слоя алюминия на сплаве МЛ-10. Каждая точка кривой является результатом усреднения данных по 10 образцам. Из рисунка можно заключить, что

Рис. 1. Изменение начальной интенсивности экзоэмиссии алюминиевого покрытия на сплаве МЛ-10

Рис. 2. Зависимость начальной интенсивности экзоэмиссии от толщины кадмиевых и алюминиево-кадмиевых покрытий на сплаве МЛ-10. I—магний-кадмиевое покрытие (толщина подслоя магния 2—3 μ), 2— алюминиево-кадмиевое покрытие (толщина подслоя алюминия 5—7 μ), 3— алюминиево-кадмиевое покрытие (толщина подслоя алюминия 14—16 μ)

Рис. 3. Микрофотограмма электронограммы кадмиевого покрытия толщиной 100μ на сплаве МЛ-10 (толщина подслоя магния 2— 3μ)

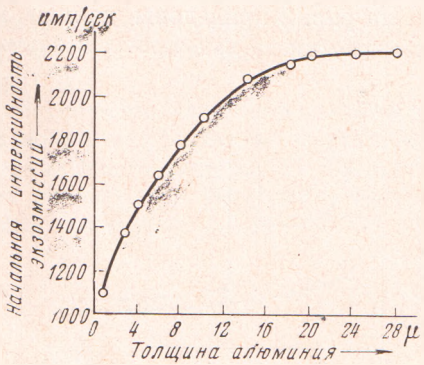
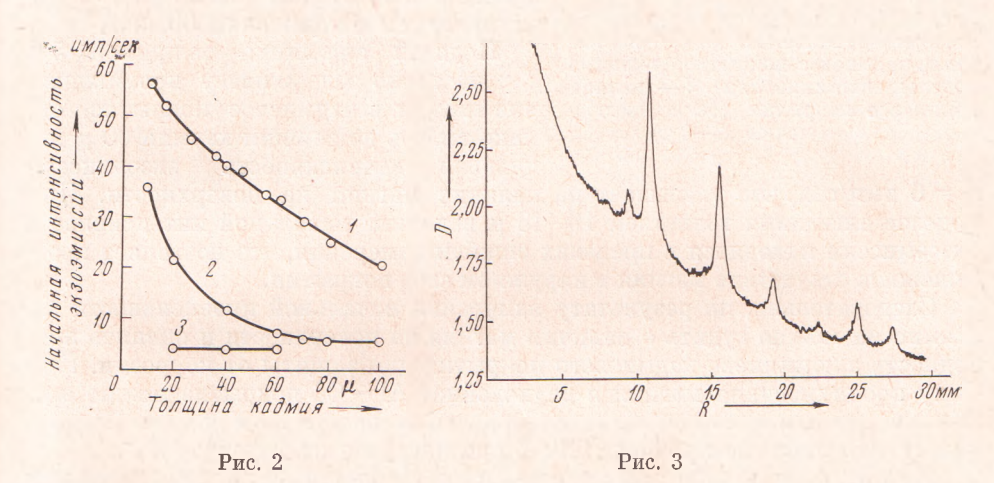


Рис. 1



вилоть до толщины 16-18 μ на поверхности алюминиевого слоя присутствует магний, так как N < 2100 имп/сек. При больших толщинах алюминиевого покрытия число импульсов, регистрируемое счетчиком, соответствует начальной экзоэмиссии чистого алюминиевого конденсата (N = 2200 имп/сек). Таким образом, по изменению начальной интенсивности экзоэмиссии напыленного алюминиевого покрытия можно судить о близости его состава к чистому алюминию. Аналогичный результат был получен для слоев меди и титана. При толщине покрытий, равной 14-16 μ , величина начальной интенсивности экзоэмиссии совпадала с фоном аппа-

ратуры (4 имп/сек), т. е. магний уже на поверхности отсутствовал. Параллельно были проведены электронографические исследования, которые подтвердили, что на поверхность алюминиевых покрытий толщиной до 16—18 µ проникает магний. На поверхности покрытий толщиной более 16—18 µ по электронографическим данным магний отсутствует.

Таким образом, на основании изменения начальной интенсивности экзоэлектронной эмиссии и по результатам электронографических исследований можно утверждать, что толщина противодиффузионного слоя алюминия, меди и титана на сплаве МЛ-10 должна быть не менее 16—18 µ. Следует отметить, что метод экзоэлектронной эмиссии очень удобен для контроля процессов диффузии магния в кадмиевые покрытия, а также и для других аналогичных случаев. Кадмий дает очень низкую интенсивность экзоэлектронной эмиссии, поэтому можно выбрять подсветку такой длины волны, что N для кадмия не регистрируется, а для магния в этих условиях наблюдается достаточно интенсивная эмиссия. Тогда при отсутствии на поверхности следов магния экзоэлектроны не должны регистрироваться.

На рис. 2 приведены данные исследования начальной интенсивности экзоэмиссии на кадмиевых и алюминиево-кадмиевых покрытиях на сплаве

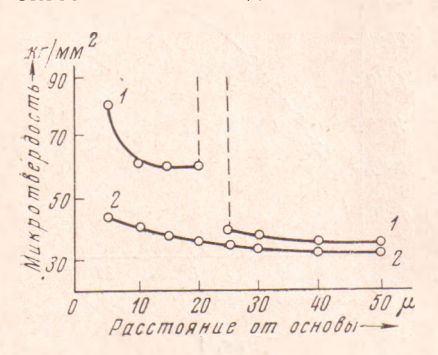


Рис. 4. Микротвердость покрытий на магниевом сплаве МЛ-10. I — алюминиево-кадмиевое покрытие (толщина подслоя алюминия $20~\mu$), 2 — магний-кадмиевое покрытие (толщина подслоя магния $2-3~\mu$)

МЛ-10. Полученные результаты показывают, что при нанесении кадмия нечосредственно на сплав МЛ-10, даже для покрытия толщиною $100~\mu-N=22~\mu$ мп/сек. Следовательно, на поверхности покрытия присутствует магний, что подтверждается электронографически наличием окиси магния на поверхности (рис. 3- микрофотограмма электронограммы кадмиевого покрытия толщиной $100~\mu$ с подслоем магния $2-3~\mu$ на сплаве МЛ-10). Съемка осуществлялась методом «на просвет» при ускоряющем напряжении $60~\kappa$ в.

Подслой алюминия толщиной 5—7 µ частично задерживает проникновение магния в кадмиевое покрытие, однако вплоть до толщин кадмия 60 µ начальная интенсивность экзоэмиссии

N=6 имп/сек, что указывает на наличие магния на поверхности. При подслое алюминия толщиной 16-18 μ величина начальной интенсивности экзоэмиссии находится в пределах ошибки измерения, что позволяет предположить отсутствие магния в наружном слое покрытия.

Следовательно, по результату измерения начальной интенсивности экзоэмиссии можно судить о наличии магния на поверхности и оценить пригодность алюминиево-кадмиевого покрытия для защиты от коррозии. Глубину проникновения магния в двухслойное Al—Cd покрытие можно оценить по данным изменения микротвердости на поперечном шлифе. Измерения производили на приборе ПМТ-3 при нагрузке на индентор 5 Г.

На рис. 4 приведена зависимость микротвердости от расстояния между нокрытием и сплавом МЛ-10. Как видно из графика, кривая 1 состоит из двух частей. Верхняя часть представляет изменение микротвердости алюминия, содержащего магний. С удалением от основы количество магния в алюминии уменьшается и на расстоянии 14—16 µ от сплава МЛ-10 твердость покрытия равна 60 кг/мм², что соответствует значению микротвердости чистого конденсата алюминия при данной температуре подложки (³). Нижняя часть кривой 1 представляет изменение микротвердости кадмиевого конденсата.

Таким образом, подслой алюминия толщиной не менее 16 µ исключает диффузию магния на поверхность алюминиево-кадмиевого покрытия.

Для кадмиевого покрытия на магниевом сплаве с подслоем магния (2—3 µ; рис. 4, кривая 2) характерно плавное изменение микротвердости, что позволяет предположить образование интерметаллических соединений системы Mg — Cd, не стойких в коррозионном отношении.

Чтобы установить, каким путем идет проникновение магния в алюминиевый слой, был сделан расчет диффузии с постоянным источником для полубесконечного пространства. Для расчета процесса диффузии можно воспользоваться формулами, приведенными в работах (8, 9). Коэффициент

диффузии магния в алюминий для температуры 280° оказался равным $D=6.4\cdot 10^{-13}~{\rm cm^2/cek}$, что хорошо согласуется с данными работы (10). На основании полученных результатов расчета по истечении 40 сек. с момента начала напыления (при выбранной скорости осаждения 1 μ /мин) на поверхности алюминия не должно быть следов магния.

Экспериментальные данные, полученные электронографически и по изменению начальной интенсивности экзоэмиссии, не подтверждают этого. Вакуумные конденсаты алюминия, меди и титана при толщине ~1 µ имеют большое число сквозных пор, которые в данном случае являются основным путем проникновения магния в покрытие. Слои этих металлов тол-

щиною 18—20 и практически беспористы (11).

Следовательно, основным условием обеспечения надежной защиты магниевого сплава кадмиевым вакуумным покрытием является наличие промежуточного беспористого противодиффузионного слоя из Ti, Cu или Al толщиной не менее 18 μ . Это позволяет значительно уменьшить толщину кадмиевого покрытия и при определенных композициях (Al-Cd, Ti-Cd) снизить вес защищенного изделия.

Одесский технологический институт им. М. В. Ломоносова

Поступило 10 VII 1972

ШИТИРОВАННАЯ ЛИТЕРАТУРА

¹ Е. Тауlог, Metal Progr., 96, 3 (1969). ² И. И. Корнилов и др., Металло-химические свойства элементов периодической системы, М., 1966. ³ И. Л. Ройх, Л. Н. Колтунова, Защиные вакуумные покрытия на стали, М.,1971. ⁴ И. Л. Ройх, Л. Я. Ярповецкий, Усп. хим., 28, 2 (1959). ⁵ F. R. Вгоfzеп, Phys. Stat. Sol., 22, 1 (1967). ⁶ А. Г. Гельман, Передовой научно-технич и производст. опыт, в. 18 (1966). ⁷ Ю. И. Семов, Укр. физич. журн., 13, 10 (1968). ⁸ С. Д. Герприкен, И. Я. Дехтяр, Диффузия в металлах и сплавах в твердой фазе, М., 1968. ⁹ А. А. Веегwald, Zs. Electrochem., 45, 789 (1939). ¹⁰ С. З. Бокштейн, М. Б. Бронфин и др., Металловедение и термическая обработка металлов, № 4 (1965). ¹¹ И. Л. Ройх и др., Зав. лаб., № 3 (1971).